

高等学校教学用書



数学物理方法

B. I. 列文著



高等教育出版社

56.6323 51.6323
12000 6

高等学校教学用书



数 学 物 理 方 法

B. I. 列文著

程惟松 楊思訥 史希福譯

本书系根据俄罗斯苏维埃联邦教育部教科书出版社(Государственное учебно-педагогическое издательство министерства просвещения РСФСР)出版的列文(B. И. Левин)著“数学物理方法”(Методы математической физики)1956年版译出。原书经俄罗斯苏维埃联邦社会主义共和国教育部审定为师范学院数学物理系教学参考书。

本书内容包括场的数学理论, 数学物理微分方程(波动方程, 热传导方程, 拉普拉斯方程,薛定谔方程), 概率论初步。本书的特点是讲解比较详细, 浅近易懂, 物理应用问题的例子很多, 对数学概念的物理意义也较强调, 故适合于师范学院物理专业之用, 有了数学分析基础知识的读者, 也能学习本书。

数学物理方法

B. И. 列文著

程惟松 杨恩勤 史希福译

高等教育出版社出版 北京市西城区车公庄7号

(北京市书刊出版业营业登记证字第054号)

民族印刷厂印装 新华书店发行

统一书号 13010·707 开本 850×1168mm²/32 印张 9¹/2
字数 218,000 印数 0001—9,000 定价 (6) 元 1.00
1959年12月第1版 1959年12月北京第1次印刷

序 言

本书供师范学院数学物理系《物理》专业的学生之用。它包含了《数学物理方法》课程教学大纲(1955出版)中所规定的内 容，即：场的数学理论(即向量分析)，数学物理微分方程，和作为附录的概率论初步。前两部分是本书的基本内容，它们之间有着紧密的联系。

叙述时假定学生已经学过教学大纲所规定的数学分析课程的内容。

当然，本书的名称就其内容而言是太大了。但是，取这个名字是为了强调本书的用途是作为教学计划上《数学物理方法》课程的教材。

第九章《薛定谔方程以及某些与它有关的问题》中的材料不属于这门课程的教学大纲。之所以把它列入，是由于在这一章中所讨论的问题是理论物理课程中某些部分所必须的数学工具。

在编写本书时，作者采纳了莫斯科师范学院理论物理教研室的代表(E. M. 李甫希兹教授和 B. I. 洛基切夫副教授)的意见，还有 A. G. 斯柯尔尼克副教授的意见，作者向他们谨表谢意。

B. I. 列文(Левин)

1956年4月

目 录

第一部分 場的数学理論

序	vi
第一章 數量場	1
§ 1.1. 基本概念	1
§ 1.2. 平行平面(二維)場和軸对称場	3
§ 1.3. 等值面与等值线	4
§ 1.4. 方向导数	5
§ 1.5. 場的梯度	8
§ 1.6. ∇ 算子和梯度的运算	12
§ 1.7. 在柱面坐标系和球面坐标系中的梯度	14
习题	19
第二章 向量場	20
§ 2.1. 基本概念	20
§ 2.2. 平行平面場、二維場和其它类型的場	21
§ 2.3. 流体动力学的比拟	23
§ 2.4. 向量的流量	26
§ 2.5. 在一般情形下流量的表达式·曲面积分	28
§ 2.6. 場的散度·源和汇	35
§ 2.7. 在笛卡尔直角坐标系中散度的計算	37
§ 2.8. 在柱面坐标系和球面坐标系中散度的計算	39
§ 2.9. 散度的运算	46
§ 2.10. 場的环流和旋度·旋度在笛卡尔直角坐标系中的計算	48
§ 2.11. 在柱面坐标系和球面坐标系中旋度的計算	56
§ 2.12. 旋度的运算	59
§ 2.13. ∇ 运算	59
习题	63
第三章 积分定理	64
§ 3.1. 高斯-奥斯特洛格拉得斯基定理及其某些应用	64
§ 3.2. 斯托克斯定理	71
§ 3.3. 高斯-奥斯特洛格拉得斯基定理及斯托克斯定理的推广	75

习题	76
第四章 二阶微分运算及其应用	77
§ 4.1. 二阶微分运算	77
§ 4.2. 在柱面坐标系和球面坐标系中的拉普拉斯	81
§ 4.3. 向量场的分类	84
§ 4.4. 管式场和无涡旋场的性质	86
§ 4.5. 格林公式	89
习题	90

第二部分 数学物理微分方程

第五章 弦振动方程	91
§ 5.1. 方程的推导	91
§ 5.2. 无界弦振动(柯西問題)·达兰贝尔解	94
§ 5.3. 有界弦的自由振动·福里哀方法	101
§ 5.4. 有界弦的强迫振动	111
§ 5.5. 管中的气体振动	114
§ 5.6. 能量积分·混合問題解的唯一性	117
习题	122
第六章 膜振动方程	123
§ 6.1. 方程的推导	123
§ 6.2. 矩形膜振动	127
§ 6.3. 矩形膜上的节线	135
§ 6.4. 圆形膜和贝塞尔方程	138
§ 6.5. 贝塞尔函数(柱函数)	141
§ 6.6. 圆形膜振动	147
习题	154
第七章 热传导方程	155
§ 7.1. 方程的推导	155
§ 7.2. 一维热传导方程的柯西問題	157
§ 7.3. 福里哀积分	160
§ 7.4. 在无界杆中热的传播	164
§ 7.5. δ -函数·源函数	166
§ 7.6. 有界杆中热的传播	173
习题	184

第八章 拉普拉斯方程的边值問題	184
§ 8.1. 問題的提出	184
§ 8.2. 解边值問題的格林方法	186
§ 8.3. 在球域和半空間上狄利赫里問題的解	190
§ 8.4. 拉普拉斯方程在球面坐标系中的变量分离·勒让得多项式与勒让得伴隨函数	193
§ 8.5. 拉普拉斯球函数和球面函数	205
§ 8.6. 按球函数展开来求球域的狄利赫里問題的解	208
§ 8.7. 球的固有振动·阶数等于奇整数之一半的贝塞尔函数	211
习题	219
第九章薛定鄂方程和与它有关的某些問題	219
§ 9.1. 薛定鄂方程·在量子力学中的谱振子和契贝雪夫—麦尔米特多项式	219
§ 9.2. 电子在库仑场内的运动·契贝雪夫—略盖尔多项式	225
习题	231
場的数学理論公式汇編	232
附录 概率論初步	240
§ 1. 概率的概念·统计研究方法	240
§ 2. 概率的加法与乘法	242
§ 3. 条件概率	244
§ 4. 重复試驗·二項式分布	245
§ 5. 统计場和统计样本	248
§ 6. 随机变量·分布函数	248
§ 7. 数学期望·方差与均方根偏差	255
§ 8. 各种分布律的例子	265
§ 9. 拉普拉斯极限定理	274
§ 10. 大数定律·切贝雪夫定理	279
§ 11. 波阿松定理和《希少》事件的分布·物理应用	281
函数 $\Phi(t) = \frac{1}{\sqrt{2\pi}} \int_{-\infty}^t e^{-\frac{t^2}{2}} dt$ 的值的表	285

第一部分 場的数学理論

第一章 數量場

§ 1.1. 基本概念

如果空間(或者它的某一部分) V 的每一点 P 都对应着某个物理量所确定的值 u , 則称在空間 V 上确定了該物理量的場。如果 u 是数量, 也就是說它的值在确定的单位系中是数, 則这样的場就称为数量場。因为数值 u 一般來說是隨点而变的, 所以适宜于記作 $u(P)$ (我們常常用这种写法来代替 $f(P)$, 拿表示因变量的字母来表示函数关系)。这里点 P 是自变量, 因而就称因变量为点函数。

例 1 u 可以是用 $^{\circ}\text{C}$ 或 $^{\circ}\text{K}$ 来度量的温度, 电荷密度, 气压等等, u 也可以是位势, 例如電場的位勢(庫倫位勢)或引力場的位勢(牛頓位勢)。质量为 m 的質點 M 所产生的牛頓位勢为

$$u = \gamma \frac{m}{r_{MP}},$$

其中 γ 是常数(万有引力常数), 其值取决于单位系的选择, r_{MP} 是从点 M 到点 P 的距离。

如果量 $u(P)$ 与时间 t 无关, 則此数量場称为穩定場; 如果点 P 所对应的量 u 随时间而变化, 即 $u = u(P, t)$, 則此数量場称为不稳定場。

例 2 如果在导热的介质中放入一个赤热的物体, 該物体便要逐渐冷却, 于是介质中各点的温度就与时间有关, 我們就有了不稳定的温度場。

在本章內我們不考慮場对时间可能的函数关系, 也就是說我們所考慮的或者是穩定場, 或者是不稳定場的某个确定瞬间(不稳

定場的《瞬時攝影》)。

記號 $u(P)$ (和點函數的定義一樣) 不須要在空間引入任何坐標系。如果在空間引入了某个坐标系, 例如引入了笛卡尔直角坐标系 x, y, z , 則給定点 P 相當于給定它在該坐标系中的坐标 x, y, z , 这时場函数 $u(P)$ 就变成普通的三元函数 $u(x, y, z)$ 。在空間也可以引入别的坐标系, 例如柱面坐标系和球面坐标系。在柱面坐标系中(見圖 1)場函数表示为

$$u = u(r, \varphi, z),$$

其中

$$r = \sqrt{x^2 + y^2} \quad (r \geq 0), \quad \varphi = \operatorname{Arctg} \frac{y}{x};$$

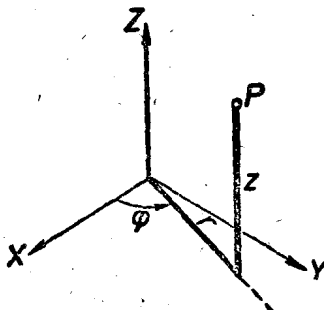


图 1

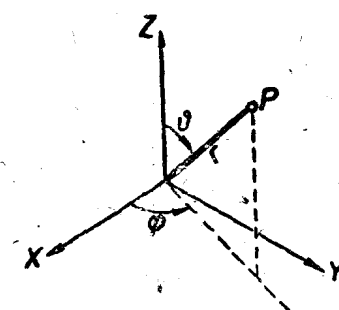


图 2

在球面坐标系中(見圖 2)表示为

$$u = u(r, \vartheta, \varphi),$$

其中

$$r = \sqrt{x^2 + y^2 + z^2} \quad (r \geq 0),$$

$$\vartheta = \arccos \frac{z}{r} \quad (0 \leq \vartheta \leq \pi),$$

$$\varphi = \operatorname{Arctg} \frac{y}{x}.$$

例 3 在笛卡尔直角坐标系中質点 $M(a, b, c)$ 的牛頓位勢具有

形式:

$$u = \gamma \frac{m}{\sqrt{(x-a)^2 + (y-b)^2 + (z-c)^2}}$$

如果把球面坐标系的原点放在点 M 上, 则我們得到关于 u 的表达式 $u = \gamma \frac{m}{r}$ (因为 $r = r_{MP}$), 即 u 仅仅是一个球面坐标 r 的函数。

这样, 每个物理上的具体的数量場确定了某个点函数, 或某个三元函数 (自变量就是这点的三个坐标)。反之, 如果給定了任意函数 $u = u(x, y, z)$, 則可以把它看成是表示某个确定在其定义域上的数量場。因为变量 u 的物理意义沒有具体給出, 并且場的結構对数学研究來說是无关紧要的, 所以对于場的这样解釋是抽象的, 我們在場的数学理論中主要的就是研討这样的情形。然而正是由于場的数学理論的一般性, 其結果在理論物理中就有着重要的应用。

§ 1.2. 平行平面(二維)場和軸對稱場

有些数量場可能具有某些特殊性质, 因而使得研究起来可以簡化。

如果在空間能取到这样的笛卡尔直角坐标系, 使得場函数 u 仅与三个变量 x, y, z 中的两个有关, 例如 $u = u(x, y)$, 則此場称为平行平面場或二維場。

例 4 环繞着两端无限的均匀的热柱体(例如一根赤热的直綫条)形成一稳定的温度場, 这个温度場就是平行平面場, 因为在所有与柱体母綫垂直的平行平面上, 温度的分布情形是相同的。說得更确切些, 在任意一条与柱体母綫平行的直綫上, 各点的温度相同, 这也就是平行平面場名称的来源。在这个例子中可以选取与柱体母綫垂直的任何一个平面作为 x, y 平面。另一方面, 也可以单单考慮温度在薄平板上的分布, 而不去注意平板周圍介质中的

溫度。于是，如取此平板为 x, y 平面，我們就得到仅在 x, y 平面（或其一部分）上研究的場，即 $u=u(x, y)$ ($z=0$)。这就是二維場的例子（二維場有时也称为平面場）。从数学上講，平行平面場与二維場不同之处在于前者 $u=u(x, y)$ 而 z 为任意，后者 $u=u(x, y)$ 而 $z=0$ 。

現在研究数量場的另一特殊情形。如果在空間可以取到这样的柱面坐标系，使得場函数与变量 φ 无关，即仅仅是 $r=\sqrt{x^2+y^2}$ 与 z 的函数： $u=u(r, z)$ ，則此場称之为軸对称場。特別，如果在軸对称場中函数 u 还与 z 无关，即 $u=u(r)$ ， $r=\sqrt{x^2+y^2}$ ，則此場称为柱面場。

如果場函数仅与一个球面坐标 $r=\sqrt{x^2+y^2+z^2}$ 有关，或者一般講来仅与点 $P(x, y, z)$ 到定点 $M(a, b, c)$ 的距离有关，则此場称为球面場。

例 5 位于 z 軸上的質量綫段，其牛頓位勢与 φ 无关，确定了一个軸对称場。质量为 m 的質点 $M(a, b, c)$ ，其牛頓位勢确定了一个球面場（見例 3）。位于坐标原点的点的对数位勢

$$u=\frac{1}{2}\gamma\mu \ln \frac{1}{r},$$

确定了一个柱面場，其中 $r=\sqrt{x^2+y^2}$ ，而 μ 是所謂綫密度（обложениеточк），即与 z 軸重合且在 x, y 平面上产生所研究的位勢无限长的質綫的单位长度的质量。

§ 1.3. 等值面与等值綫

在任何一个坐标系中，用公式的形式来表示場函数可能还不够很直觀地表明量 $u(P)$ 随点而变的变化过程。引入等值面可以很容易达到这目的，它被定义为使場函数 u 取得定值 c 的点的軌

迹。如果該場函數等於 c , 我們得到等值面方程:

$$u(x, y, z) = c.$$

对于不同的常量 c 我們得到不同的等值面, 其全体构成一个单参数族(c 为参数), 它将数量場分成《层》。

在平行平面場中等值面是母綫平行于 z 軸的柱面, 在軸对称場中是环繞 z 軸的迴轉面。事实上, 在笛卡尔直角坐标系中 $u(x, y) = c$ 是柱面方程, 其母綫与 z 軸平行, 它在 x, y 平面上的准綫方程为 $u(x, y) = c$ 。如果研究二維場, 則这些准綫, 即曲綫 $u(x, y) = c$ 称为等值綫。在柱面坐标系中 $u(r, z) = c$ 是曲面方程, 它与垂直于 z 軸的平面 $z = k$ 交成曲綫 $u(r, k) = c$, 即 $r = \text{常数}$, 也就是中心在 z 軸上的圓周; 这样的曲面是繞 z 軸的迴轉面, 它在 x, z 平面上的截綫方程为 $u(x, z) = c$ 。

容易看出, 柱面場的等值面是圓柱面; 球面場的等值面是球面。

例 6 位勢 u 的等值面称为等位面。質点位勢的等位面为同心球, 均匀的質綫段的位勢的等位面为其焦点与該綫段端点重合的共焦迴轉椭圓面(这个結果在位勢理論中予以証明)。在圍繞无限赤热直線的溫度場中, 等溫面(溫度場中的等值面, 或溫度相等的曲面)是以 z 軸为公共軸的圓柱面。

§ 1.4. 方向导数

点 P 在場中移动时, 場函数 $u(P)$ 的变化率是研究数量場的重要元素(在此假定場是稳定的)。考慮定点 $P_0(x_0, y_0, z_0)$ 及从点 P_0 出发的某一条射綫 λ (見图 3)。这条射綫的方向由它与 x, y, z 軸正方向的夹角 α, β, γ 来确定(为了确定这些角, 我們通过点 P_0 分別作平行于 x, y, z 軸且与它们同方向的射綫 P_0x', P_0y', P_0z' ; 此时 α 是射綫 λ 与 P_0x' 之間的夹角, 余类推)。現在假設点 P 从初始位

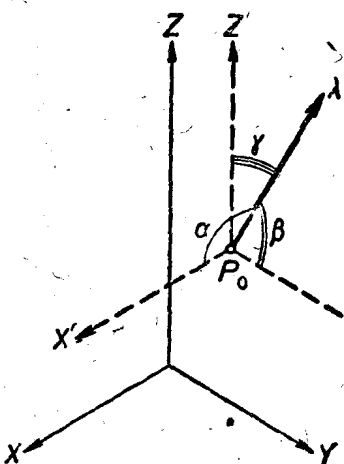


图 3

置 P_0 沿着射綫 λ 等速度运动, 其速度为 1。經過时间 t 之后(即 t 个時間单位), 它从点 P_0 走过的距离为 t 个长度单位。假設它在該时刻的位置是 P , 我們來計算点 P 的坐标: x, y, z 。向量 $\overrightarrow{P_0P}$ 之长为 t , 而它在坐标軸上的投影等于 $t \cos \alpha, t \cos \beta, t \cos \gamma$, 所以

$$x = x_0 + t \cos \alpha,$$

$$y = y_0 + t \cos \beta,$$

$$z = z_0 + t \cos \gamma. \quad (1.4.1)$$

在此时间 t 之后, u 值的改变由初值 $u(P_0)$ 变到 $u(P)$, 即

$$u(P) - u(P_0) = u(x_0 + t \cos \alpha, y_0 + t \cos \beta, z_0 + t \cos \gamma) - u(x_0, y_0, z_0).$$

u 在这段时间間隔內的平均变化率等于

$$\frac{u(x_0 + t \cos \alpha, y_0 + t \cos \beta, z_0 + t \cos \gamma) - u(x_0, y_0, z_0)}{t},$$

而在时刻 $t=0$, 即在点 P_0 的瞬时变化率等于

$$\lim_{t \rightarrow 0} \frac{u(x_0 + t \cos \alpha, y_0 + t \cos \beta, z_0 + t \cos \gamma) - u(x_0, y_0, z_0)}{t}.$$

显然, 这个极限值与点 P_0 的位置以及由角 α, β, γ 所确定的射綫 λ 的方向有关, 下面我們就要講它的計算。这个极限值称为場函数 u 在点 P_0 沿 λ 方向的导数, 这是描述場在点 P_0 邻域中的性态的重要特征: 它表明当点 P 从点 P_0 出发沿着射綫 λ 的方向移动时, 函数 $u(P)$ 是以什么样的速度开始变化的。如果这个量是正的, 则函数 $u(P)$ 在 λ 方向(从 P_0 点出发)是增加的, 这个量愈大,

函数 $u(P)$ 增加得也愈快；如果这个量是负的，则在同样的条件下函数是减少的，且这个量的绝对值愈大，函数 $u(P)$ 减少得也愈快。

现在我們着手計算方向導數。为此我們引进一个其值等于 $u(P)$ 的单变量 t 的輔助函数 $F(t)$ ：

$$F(t) = u(x_0 + t \cos \alpha, y_0 + t \cos \beta, z_0 + t \cos \gamma)$$

(因为我們所考慮的是定点 P_0 和定射綫 λ ，故 $x_0, y_0, z_0, \alpha, \beta, \gamma$ 为常量)。显然，此时 $F(0) = u(x_0, y_0, z_0)$ ，而我們所要求的极限就可写成

$$\lim_{t \rightarrow 0} \frac{F(t) - F(0)}{t} = F'(0).$$

为了計算 $F'(0)$ ，我們應該首先計算 $F'(t)$ ，然后再令 $t=0$ 。导数 $F'(t)$ 可以用数学分析中熟知的公式（多元函数微分法）来計算，即：如果 $u=u(x, y, z)$ ，而 $x=x(t), y=y(t), z=z(t)$ ，則 u 是 t 的复合函数： $F(t)=u\{x(t), y(t), z(t)\}$ ，它的导数是：

$$F'(t) = \frac{\partial u}{\partial x} \frac{dx}{dt} + \frac{\partial u}{\partial y} \frac{dy}{dt} + \frac{\partial u}{\partial z} \frac{dz}{dt}.$$

在我們这里[參看公式(1.4.1)]，

$$\frac{dx}{dt} = \cos \alpha, \quad \frac{dy}{dt} = \cos \beta, \quad \frac{dz}{dt} = \cos \gamma$$

所以

$$F'(t) = \frac{\partial u}{\partial x} \cos \alpha + \frac{\partial u}{\partial y} \cos \beta + \frac{\partial u}{\partial z} \cos \gamma,$$

其中

$$\frac{\partial u}{\partial x} = u'_x(x, y, z), \quad \frac{\partial u}{\partial y} = u'_y(x, y, z), \quad \frac{\partial u}{\partial z} = u'_z(x, y, z),$$

(等式右端的記号指出了函数 $\frac{\partial u}{\partial x}$ 等的自变量)。于是，我們得到

$$F'(0) = u'_x(x_0, y_0, z_0) \cos \alpha + u'_y(x_0, y_0, z_0) \cos \beta + u'_z(x_0, y_0, z_0) \cos \gamma.$$

在点 P_0 偏导数的值記作

$$u'_x(x_0, y_0, z_0) = \left(\frac{\partial u}{\partial x} \right)_0, \quad u'_y(x_0, y_0, z_0) = \left(\frac{\partial u}{\partial y} \right)_0, \quad u'_z(x_0, y_0, z_0) = \left(\frac{\partial u}{\partial z} \right)_0,$$

并且認為 $t = \overrightarrow{P_0 P}$ (点 P_0 与 P 之間的距離), 就可以写出以下的命題:

場函数 $u(P)$ 在点 P_0 沿 λ 方向(取极限的方向)的导数

$$\lim_{P \rightarrow P_0} \frac{u(P) - u(P_0)}{\overrightarrow{P_0 P}} = \left(\frac{\partial u}{\partial \lambda} \right)_0,$$

它等于

$$\left(\frac{\partial u}{\partial x} \right)_0 \cos \alpha + \left(\frac{\partial u}{\partial y} \right)_0 \cos \beta + \left(\frac{\partial u}{\partial z} \right)_0 \cos \gamma.$$

此处用 $\frac{\partial u}{\partial \lambda}$ 表示沿 λ 方向的导数。这种表示法是合适的, 因为从数学分析中知道偏导数 $\frac{\partial u}{\partial x}, \frac{\partial u}{\partial y}, \frac{\partial u}{\partial z}$ 是方向导数的特殊情形: 例如, 如果射綫 λ 与 x 軸平行, 而且与它同一方向, 則 $\alpha = 0, \beta = \frac{\pi}{2}, \gamma = \frac{\pi}{2}$, 故 $\left(\frac{\partial u}{\partial \lambda} \right)_0 = \left(\frac{\partial u}{\partial x} \right)_0$, 余类推。在 $\frac{\partial u}{\partial \lambda}, \frac{\partial u}{\partial x}$ 等的括号下面的指标 0 表示它们是在点 P_0 的导数。如果沿 λ 方向計算在点 P 的导数, 我們省去括号和下标 0 可以写成:

$$\begin{aligned} \frac{\partial u}{\partial \lambda} &= \frac{\partial u}{\partial x} \cos \alpha + \frac{\partial u}{\partial y} \cos \beta + \frac{\partial u}{\partial z} \cos \gamma = \\ &= u'_x(x, y, z) \cos \alpha + u'_y(x, y, z) \cos \beta + u'_z(x, y, z) \cos \gamma. \end{aligned} \tag{1.4.2}$$

§ 1.5. 場的梯度

方向导数的值与点 P 的位置以及射綫的方向有关。在公式 (1.4.2) 中点 P 的坐标是偏导数 $\frac{\partial u}{\partial x}, \frac{\partial u}{\partial y}, \frac{\partial u}{\partial z}$ 的自变量, 而 λ 方向的方向余弦则是这些偏导数旁的乘数。从向量代數知道, 如果向量是用它在坐标向量 i, j, k (坐标軸方向的单位向量) 的分解式

給出的話：

$$\mathbf{a} = a_x \mathbf{i} + a_y \mathbf{j} + a_z \mathbf{k}, \quad \mathbf{b} = b_x \mathbf{i} + b_y \mathbf{j} + b_z \mathbf{k},$$

則它們的数量积(\mathbf{a}, \mathbf{b})——两向量的数量积被定义为它們的长度

$$|\mathbf{a}| = \sqrt{a_x^2 + a_y^2 + a_z^2}, \quad |\mathbf{b}| = \sqrt{b_x^2 + b_y^2 + b_z^2}$$

之积再乘以 $\cos\varphi$, 其中 φ 为它們之間的夹角——就可以按下面的公式来計算：

$$(\mathbf{a}, \mathbf{b}) = |\mathbf{a}| \cdot |\mathbf{b}| \cdot \cos\varphi = a_x b_x + a_y b_y + a_z b_z.$$

將此公式与公式(1.4.2)比較, 我們看到 $\frac{\partial u}{\partial \lambda}$ 是下面两个向量的数量积：

$$\mathbf{N} = \frac{\partial u}{\partial x} \mathbf{i} + \frac{\partial u}{\partial y} \mathbf{j} + \frac{\partial u}{\partial z} \mathbf{k} \text{ 和 } \mathbf{s}^0 = \cos\alpha \cdot \mathbf{i} + \cos\beta \cdot \mathbf{j} + \cos\gamma \cdot \mathbf{k},$$

即

$$\frac{\partial u}{\partial \lambda} = (\mathbf{N}, \mathbf{s}^0). \quad (1.5.1)$$

其中向量 \mathbf{N} 仅由点 P 决定, 而与 λ 的方向无关, 向量 \mathbf{s}^0 是射綫 λ 方向的单位向量:

$$|\mathbf{s}^0| = \sqrt{\cos^2\alpha + \cos^2\beta + \cos^2\gamma} = 1$$

而与点 P 无关。

向量 \mathbf{N} 称为場在点 P 的梯度并記作：

$$\mathbf{N} = \text{grad}u(P) = \text{grad}u = \frac{\partial u}{\partial x} \mathbf{i} + \frac{\partial u}{\partial y} \mathbf{j} + \frac{\partial u}{\partial z} \mathbf{k}. \quad (1.5.2)$$

如果在空間引入了笛卡尔直角坐标系, 同时場函数 $u(P)$ 表示成为点 P 的坐标的函数: $u = u(x, y, z)$, 則就可以按照这个公式来計算梯度。如果換以另外的笛卡尔直角坐标系(原点不同, 坐标軸方向不同), 則坐标向量 $\mathbf{i}, \mathbf{j}, \mathbf{k}$ 的方向和偏导数 $\frac{\partial u}{\partial x}, \frac{\partial u}{\partial y}, \frac{\partial u}{\partial z}$ 的值都改变了。然而梯度本身(向量 \mathbf{N}) 却仍然不变。为了說明这一点, 我們给出所謂梯度的不变定义, 即与空間坐标軸选择无关的定义。

从公式(1.5.1)我們得到, 方向导数 $\frac{\partial u}{\partial \lambda}$ 可表成

$$\frac{\partial u}{\partial \lambda} = |\mathbf{N}| \cdot |s^0| \cdot \cos \varphi = |\mathbf{N}| \cos \varphi, \quad (1.5.3)$$

其中 φ 是向量 \mathbf{N} 和射线 λ 之間的夹角(見图 4)。

因为当 $\varphi=0$ 时 $\cos \varphi$ 取得最大值——等于一, 故从等式 (1.5.3) 得到 $|\mathbf{N}|$ 是 $\frac{\partial u}{\partial \lambda}$ 在点 P 最大可能取到的值, 而 \mathbf{N} 的方向則与从点 P 出发的使 $\frac{\partial u}{\partial \lambda}$ 取最大值的射线的方向相一致。

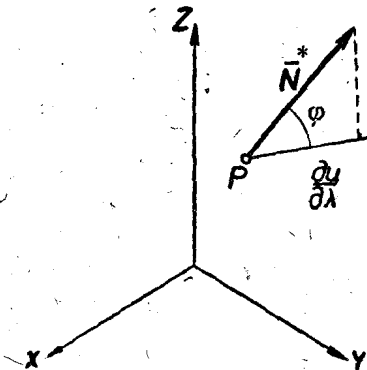


图 4

这样一来, 場在給定点 P 处的梯度, 它的方向是函数增长最快的方向(即在該点的方向导数取得最大值的方向), 它的长度等于函数的最大增长速度(即等于在該点的方向导数的最大值)。梯度的这个定义与坐标系的选择无关, 因而是个不变定义。

容易看出, P 点的梯度与經過 P 点的場的等值面垂直(即 \mathbf{N} 在此等值面的法线上)。这是因为等值面 $u(x, y, z) = c$ 在点 $P(x, y, z)$ 处的法线方程为:

$$\frac{X-x}{\frac{\partial u}{\partial x}} = \frac{Y-y}{\frac{\partial u}{\partial y}} = \frac{Z-z}{\frac{\partial u}{\partial z}},$$

其中 X, Y, Z 为法线上的流动坐标(見多元函数微分法), 所以

$$\mathbf{N} = \frac{\partial u}{\partial x} \mathbf{i} + \frac{\partial u}{\partial y} \mathbf{j} + \frac{\partial u}{\partial z} \mathbf{k}$$

* 本书图形中, 凡是外文字母上加一横的(如 \bar{N})都表示向量, 它与正文中同字母以黑体字排印者(如 N)相同——译者注。